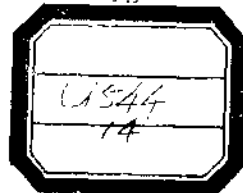


露天煤矿
边坡稳定性問題

煤炭工业出版社



1182·內容

露天煤矿边坡稳定性問題

撫順煤炭科學研究院編譯

*

煤炭工业出版社出版(社址: 北京东长安街煤炭工业部)

北京市書刊出版業營業許可證出字第084号

煤炭工业出版社印刷厂排印 煤炭工业出版社发行

*

开本787×1092公厘 $\frac{1}{16}$ 印张: 2 $\frac{9}{16}$ 字数45,000

1959年6月北京第1版 1959年6月北京第1次印刷

印数: 0.001—2,000册 定价: 0.35元

前　　言

随着露天矿的开采越来越深，边坡稳定問題的研究就显得非常重要。如何合理地选择边坡形状及稳定角？如何使剥离量达到最小？苏联在这方面曾成立了专门机构，进行了科学的研究，积累了一些經驗。

苏联专家格·耳·菲生柯同志从事露天矿边坡稳定工作将近十年，他提出了野外岩石試驗、露天矿凸状边坡的合理性以及其他新的边坡稳定計算方法，这些都使边坡稳定問題的研究大大地向前迈进了一步。

这次，苏联专家格·耳·菲生柯同志來我国撫順露天矿对滑坡研究工作进行了指导。在短短的两个月時間里，先后作了九次報告。这些報告对我国从事边坡稳定問題的研究工作有极大的帮助，因为報告里所涉及的理論都是格·耳·菲生柯同志經過多年的野外觀察，进行了一系列試驗然后总结出来的。

露天开采是今后我国煤炭工业技术发展方向之一，因而边坡稳定問題的研究是值得我們重視。目前，撫順西露天矿、阜新海州露天矿的边坡滑落对生产多多少少是有影响的。学习苏联先进經驗以大力开展露天矿边坡稳定問題的研究，使我国煤炭产量能更大地区提高，参考格·耳·菲生柯这些報告是有帮助的。

本書翻譯工作由胡天毅同志担任，整理工作由吳江、雷良惟、霍起元、罗长武、王泽春、馬永梅等同志担任，由于水平有限，記錄不够完全，不免有遗漏或錯誤之处，請指正。

目 录

前 言

岩石整体的强度特征	3
岩石抗剪强度实验室测定方法	18
露天矿边坡稳定性計算(一)	26
露天矿边坡稳定性計算(二)	32
苏联的滑坡研究工作	43
关于室内試驗的仪器配备等問題	47
露天矿滑坡及岩层疏干問題	49
撫順西露天矿非工作帮水文地質条件	57
在撫順露天矿工作的总结报告	61
附录 露天煤矿合理的边坡形状	72

岩石整体的强度特征

在解决一系列矿山技术問題时，經常要确定岩体中的岩石强度特征，同时也要考慮到岩石非均質性的影响。

当解决露天边坡稳定問題时，确定岩体中岩石特征就显得更重要，因为在这个問題里岩石的基本强度特征象内聚力(K)和內摩擦系数(ρ)直接參入已經足够准确的基本计算公式里。

当在野外条件下使用油压千斤頂对在岩体内凿好的三稜体进行抗剪試驗成功后，为了計算边坡傾角，在1951年开始对岩体中岩石强度进行了研究；同时，也在这个时候，提出了对崩落区实測的結果来确定 ρ 和 K 值。在1956年，U.H. 庫瓦耶夫提出了用液压枕垫在野外做岩石强度試驗，这样就在很大程度上減輕了开凿三稜形試體的工作，从而在花費不多劳动力下也增加了試驗的次数。在1956—1957年，使用液压枕垫在巴卡特、巴格司洛夫斯克、克拉斯諾布諸德、爱基巴斯杜司等露天煤矿和哥尔那布拉格达特露天铁矿上在不同强度的岩石中曾进行了75次野外試驗。

在下面，将简单叙述一下現在使用的野外試驗方法和已經做过的試驗結果：

1. 內摩擦系数的确定

对岩石强度的两个基本特征——内聚力和內摩擦系数來說，內摩擦系数的变化是較小的。根据試驗的指

VI

果：內摩擦角（它的正切就是內摩擦系数）改变的限度是从 12° （蒙特士）到 38° （粗粒砂岩），可是在同时內聚力数值的改变就是从松軟的粘土0.2公斤/公分²到坚硬岩石700公斤/公分²为止。从另一方面來說，在較大应力数值下，內摩擦力会造成比內聚力对移动更大的阻力，这是因为摩擦所造成的对移动的阻力在垂直应力增长情况下不断增长着；而且內聚力所造成的对移动的阻力在內应力的不断增长下保持不变。

上述的两种情况使对摩擦系数的确定比对內聚力确定要更为准确。一般說來，确定內摩擦系数(角)是使用在不同垂直应力数值下进行抗剪試驗的方法，并按照下列公式：

$$f = \operatorname{tg} \rho = \frac{\tau_2 - \tau_1}{\sigma n_2 - \sigma n_1} \quad (1)$$

式中 σn_1 和 σn_2 ——剪切时垂直应力数值；
 τ_1 和 τ_2 ——和垂直应力相应的切綫应力（单位移动阻力）。

因为移动阻力在很大程度上还决定于剪切面上所存在的減弱因素，要准确地确定內摩擦系数，就是对均質岩石也要在較大垂直应力范围内对岩石进行多次（不少于10次）的抗剪試驗。在野外条件下实际上不能用現場試驗的方法获得較准确的內摩擦角数值，因为在这样条件下不可能得到較大的垂直应力差（除了对岩层接触面和沿着致密的裂縫进行試驗例外）。

这样，为了确定岩体内摩擦角的唯一途径就是对高段

排土場安息坡度角，實驗室內抗剪試驗所確定的內摩擦角和實驗室內摩擦試驗所確定的內摩擦角進行比較。

表 1 列有各種不同岩石實驗室抗剪試驗所獲得的內摩擦角數值，高段排土場安息坡度角，岩層接觸面和由裂縫所分開的岩塊面上的摩擦角。

表 1

岩石名稱	岩塊內		自然安息坡度角	岩塊面上的摩擦角，度		
	摩擦角度	坡度角度		沿着不平而且粗糙的面	沿着平坦粗糙的面	沿着平坦光滑的面
砂岩	26			32	31	21
粉砂岩	33		34—36	—	28	23
泥質岩	27—30			26	—	19—21
帶鏡面的粉砂岩	—		—	—	—	13
石灰岩	34			—	—	—
變質頁岩	29		33—35	—	—	—
石英斑岩、花崗閃長岩、玢岩	36			—	—	—
正長岩、玢岩	36	35		24	29	25
						22

從表 1 可以看出，沿岩塊面的摩擦系數決定於岩石顆粒成分和表面平滑程度，沿著不平粗糙面摩擦角僅比實驗室內抗剪試驗獲得的內摩擦角小 1—3°；同時估計到下列因素：就是岩石在岩體中的滑動面當它們和岩層接觸面不重合時和實驗室內抗剪試驗所得的剪斷面一樣，都是不平滑的，這樣就可以有信心地取使在岩體內和層面相交並和密致裂縫面不重合的滑落面上的內摩擦角等於對同樣岩石在實驗室里獲得的內摩擦角。排土場的自然安息坡度角和實驗室內獲得的這組岩石的內摩擦角平均值的符合也証實

了这一論点（当坡角被認為等于介質內摩擦角时）。

岩层接触面的內摩擦角可以有信心地使它等于實驗室內沿着同样面作摩擦試驗所获得的摩擦角；而和裂縫重合的表面的內摩擦角可使其等于實驗室內抗剪試驗和摩擦試驗所获得的內摩擦角的平均值。

假使內摩擦角的數值已經知道，那末，沿剪切面的內聚力值就可以在每次抗剪試驗中得到。

2. 野外抗剪試驗方法

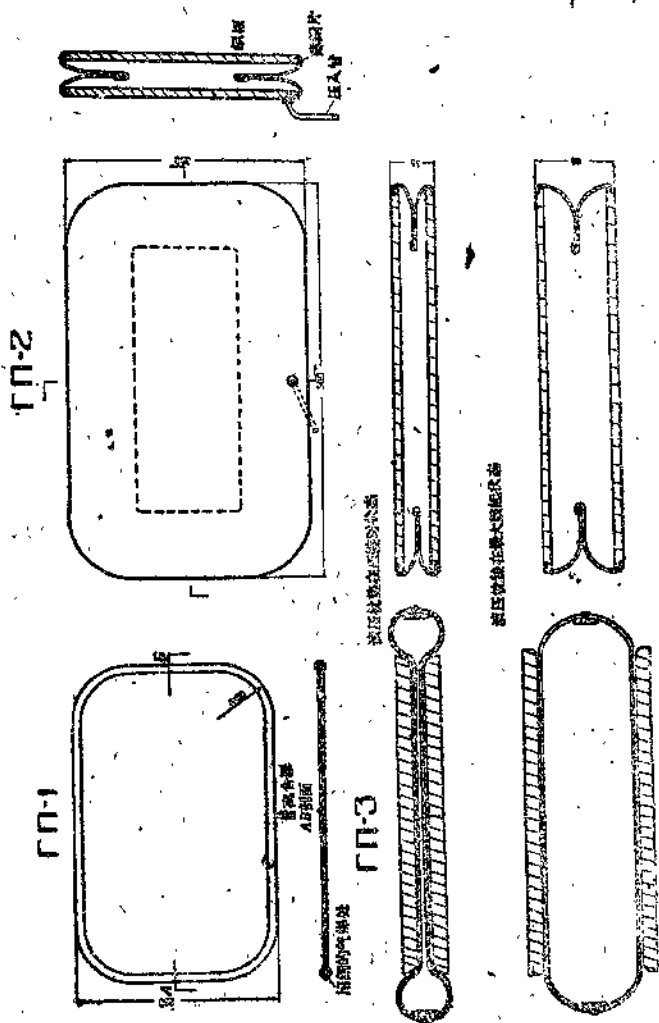
岩石强度野外試驗的實質就是：在岩体中凿开一个三棱形試体，使这試体和岩体只有一面相接，并沿着这面确定岩石的强度。剪切力一般是和这面成一銳角（从 20° 到 45° ），使得能保証沿这面岩石的破坏是剪断，而不是拉断或者压碎。三棱体一般的尺寸約为 $0.6 \times 0.5 \times 1.0$ 立方公尺，剪断面的面积等于 $0.5-0.7$ 平方公尺。

当剪切面和岩层面相交有一角度时，这样尺寸的三棱試体一般在各方向都包括有若干构造因素；这样，剪切面就包括了一系列的裂縫和裂縫之間各区段，并体现了岩石在岩体内沿着預定方向的內聚力。同样，当剪切面沿着岩层面时，三棱試体的尺寸也能够体现岩石整体沿层面对移动的阻力。

剪切力是由油压千斤頂或液壓枕垫所造成的。

液壓枕垫是由厚 $1.5-2.0$ 公厘的薄銅片所制成，同时它們有简单的和带硬帮的两种。简单液壓枕垫就是两端凸起并焊在一起的两块銅片（图1）。这种液壓枕垫的缺点是它不能使应力按照它和岩石接触的面平均分配，在面的

图 1 测量机指示示意图



边缘应力小，而在中间就较大。这个缺点特别是在液压枕垫不大的情况下容易觉察。此外，在岩石和枕垫接触面岩石强度不同时，会发生被剪切三棱試体不平均变形，如較弱岩石的局部破坏或較硬岩石的劈开，这样，三棱試体就不按原定面剪断，而是压坏。

为了消除这些缺点，提出了带硬帮的液压枕垫（图1）。它是由两片厚为8—10公厘的鋼片組成，彼此間由一銅片連接成小手风琴式。这样构造的液压枕垫使整个面应力的平均分配。当岩石不是均質体时，三棱試体就一致变形，并保証沿着预定面剪断。但是这种样式的液压枕垫具有暗藏在内部的焊縫，当这焊縫漏时就不能再繼續使用，并很难把它修好。最保险的还是普通的液压枕垫，但帶鋼垫板(图1)，以后我們就利用它来进行这样类型的試驗。

在整套抗剪試驗仪器中，除液压枕垫外，在我們試驗时还包括有：油泵，压力計，連接管等(图2)。



图 2 液压枕垫裝置图

1—油泵； 2—压力計； 3—連接管； 4—液压枕垫； 5—钢板。

凿割三棱試体一般是用手提式电鑽或风鑽，凿割工作按下列程序进行：在圈定好的面上鑽一系列平行的鑽孔，同时尽量一个靠近一个，然后在这个面上对角綫地对主要鑽孔同样地向一个方向和另一个方向鑽眼；这以后在凿好

縫中剩下的小岩柱用旋轉鑽头向前稍加推力或用專門的鑽头将其打碎。

將要安裝枕墊的縫隙要特別仔細加工，加工後在縫里放上壓縮的液壓枕墊，在枕墊和牆之間的空隙內用干的細砂填滿，然後用連接管把油泵和液壓枕墊連接起來，並向裏面加油。

當指壓計剛剛表示出在枕墊中停止增長壓力或壓力剛開始降落時，三稜試體被認為已經剪斷。同時也對三稜試體上出現的裂縫也進行了觀察。

野外試驗資料的整理和獲得岩體強度特徵按照下列程序進行：

- 1)仔細地測量剪切面，並確定其面積 S 。
- 2)測量液壓枕墊和剪切面的放置因素，並確定它們之間的角度 α 。
- 3)確定作用在剪切面上的力，這力是三稜體自重和由液壓枕墊所造成的，並按下式所算出的力之和：

$$P_1 = D \cdot t \cdot L, \quad (2)$$

式中 D ——枕墊中的油壓(大氣壓)；

t ——枕墊傳壓系數，它決定於枕墊構造、它的尺寸和試驗時枕墊鼓起的數值(這系數是把枕墊放在萬能壓力機下測定的)；

L ——枕墊面積。

- 4)按下式確定內聚力的數值

$$K = \frac{P}{S} (\sin \alpha - \cos \alpha \cdot \operatorname{tg} \rho). \quad (3)$$

表 2

图示顺序 剪切面的特征 试验次数 序号	试验 岩石	裂隙间 上所指工 作距离	增压计枕垫的 剪切的枕垫的 内摩擦力和 岩体内部 的内聚力和 三轴式 岩体尺寸 的比值	剪切的枕垫和 剪切的面积的 角度		岩体内部 的内聚力 公斤/公分 ²	岩体内部 的内聚力 公斤/公分 ²	岩体内部 的内聚力 公斤/公分 ²	岩体内部 的内聚力 公斤/公分 ²
				剪切 度	剪切 度				
I 剪切和层面成 一角度，表 而不平滑	1 淀泥岩	5—20 3—50	20 1613	32260 6760	69° 27°	3.6 15.7	0.23 4.5		
	4 煤	2—5 1—10	36 1613	58200 4570	61° 36°	6.6 6.6	0.21 31.0	0.21 9.0	
	9 淀泥岩	5—15 3—20	20 305	16130 4630	74° 27°	2.84 2.84	16.7 16.7	0.17 0.17	5.4
II 滑裂隙剪切	2 煤	2—5 1—10	29 1613	38750 5020	62° 30°	4.7 4.7	36.4 36.4	0.20 0.13	11.0
	10 煤	2—10 1—17	40 1406	23860 4160	63° 36°	3.21 3.21	32.7 32.7	0.19 0.11	—
III 剪切和层面成 一角度；底 板	7 煤	2—10 2—10	29 40	1300 1613	2'000 64500	65° 63°	4.85 8.47	19.2 33.0	0.25 0.26
	8 煤	—	—	—	—	—	—	—	5.4
IV 剥离面剪切； 表而平滑	3 煤	—	6	4118	5592 6555	70° 62°	25° 25°	1.13 1.85	42.8 35.9
	5 煤	—	15	1222 780	18 69 41763	55°	25° 25°	0.026 0.052	—
	6 煤	—	15	—	—	—	—	1.33	0.05

野外試驗可以按下列四种图示来进行(图3)。在按照第一种图示时，枕垫面和岩层面相重合，而剪切面对角綫地穿向岩层面并垂直和交于裂縫系。按第二种图示，即剪切面平行于垂直相交裂縫系的主要裂縫組，并体现了垂直于岩层面的岩体最弱方向。按第三种图示，即液压枕垫面垂直于岩层面，而滑动面对角綫地穿向层面和裂縫方向。按照这图示的試驗，确在岩层接触面底部不被采空情况下底板岩体的强度。按第四种图示，剪切面和层面重合，同时液压枕垫面对角綫地交于层面。

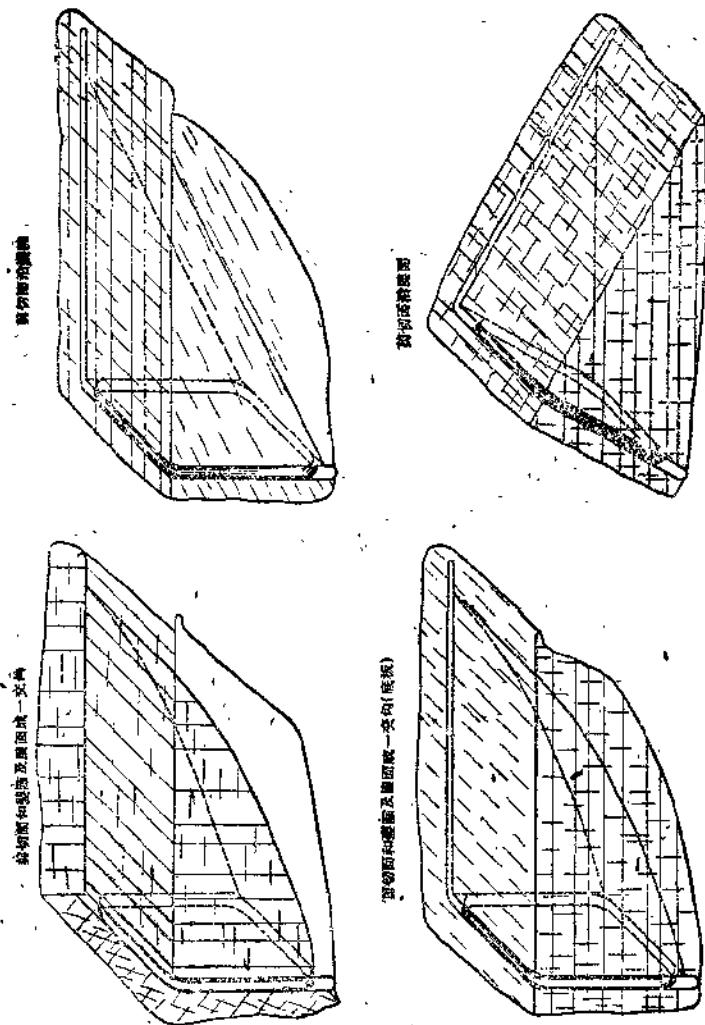
在接第一、第二和第三种图示进行試驗时測定了破裂縫分开的岩块的尺寸和裂縫間的距离；在野外試驗的同时，从三稜試體中选择了試样，准备在實驗室內进行試驗，同时从每个三稜体中选2—3个試样。

在表2中例举了在愛基巴斯杜司煤田所进行的現場試驗結果。

3. 岩石在整体中的内聚力

我們所进行的研究証明，影响内聚力数值的因素有：岩石裂隙程度，岩石(破坏)变形块尺寸的大小即对同样的岩石，当增大稜形破坏体时(破坏岩块)，内聚力减少。同样的現象也可以在同样大小稜体的裂隙程度加大的情況下看到。当觀察极限应力下岩石变形的性質时，可清楚看到在岩石整体中破坏岩块大小对内聚力的影响。如果在很长的一段岩体中岩石的力学性質是比较均質的，在滑动面附近就形成一个完整的极限紧张状态区，同时由此所形成的切綫应力場使得在該区内由裂縫局限的个别岩块发生轉動

图 3 岩石整体野外试验示意图



(图4)。因此，当远远未达到沿滑动面剪断岩石所必需的应力时，岩体已处于极限状态了。

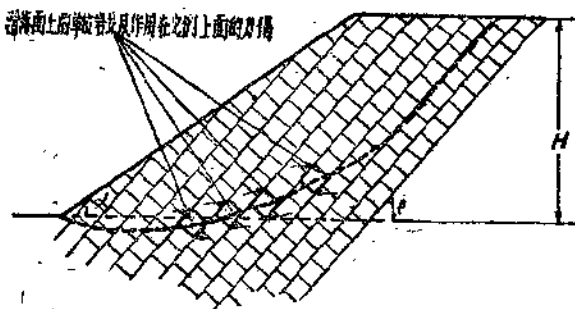


图4 单位岩块在滑落时旋转滚动示意图

极限应力区的范围决定于岩石整体变形的大小(破坏棱体大小)，即破坏三棱体愈大，极限应力区的厚度就愈大，因此可转动岩块的尺寸就愈大；当破坏体不大时，大块岩块不转动将被剪断。这样我们就很清楚了，极限切线应力的数值是随破坏棱体的加大而减小。

当滑落面和层面及裂隙成斜交，也就是当非均质面不与滑落面重合时，内聚力减少的原因也可以用上述多裂隙岩体变形的特性来解释。如果滑落面取平面数值(即没有滑落厚度)，这种情形下必须有能剪断所有与滑落面相接触的岩块，而内聚力在岩体中和岩块中相等时的应力才能达到极限状态，这是在裂隙岩石中实际上不可能的。

只有当滑落面与明显的非均质面(例如岩层接触面，断层，裂隙面等)不重合时才有上述裂隙岩体变形的特

性。当滑落面与非均质面重合时，即岩石按非均质面发生平面滑落，在这种情况下内聚力的大小与岩体变形大小无关。如果裂隙是阶梯式的（不是很致密的），那变形的特性，也就是内聚力的大小是和裂隙分布度（频率），裂隙间隔厚以及应力大小和破坏体尺寸有关。

对于不与非均质面重合的面，根据野外试验的结果，我们画出了整体岩石内聚力和裂隙关系的变化图（图5）。图上横坐标轴是破坏棱体大小（高度）和基本岩块尺寸平均值之比（ H/l ），而纵坐标轴是岩石整体内聚力和岩块中内聚力之比（ K_m/K_n ）（根据库瓦耶夫H.H.的建议可以叫做结构削弱系数）。

横坐标轴上取的不是 H/l 的简单比值而为其自然对数值，我们可以用下面两点理由来说明：

1) 当 $H = l$ 时，岩体的内聚力和岩块的内聚力相等 ($\frac{K_m}{K_n} = 1$)，这一点应该在纵坐标轴上，即 $\varphi(H/l) = 0$ ，如 $H = l \neq 0$ ，即只能是 $\ln 1 = 0$ 才成立。

2) 根据已有的资料可证明 $\frac{K_m}{K_n}$ 和 H/l 的关系图在 $\varphi(H/l)$ 轴上的点不是平均分布，而是间隔越来越小，这正适合于对数刻度规律。

在横坐标轴上画出 $x = \frac{1}{5} \ln H/l$ (从 1 到 10^4) 对实际应用已足够) 值的刻度，并画出一系列根据野外试验得出

的点，这样我們就得到了曲綫的一小段，并根据以下的論点来确定曲綫的形状：

破坏稜体高度无限增大或且单块岩石尺寸无限减小时，整体岩石中內聚力趋向于零，也就是曲綫无限地接近于横軸，这就表明了曲綫将是一抛物綫状。

当坐标軸是这样安排时，曲綫方程式如下：

$$y = \frac{1}{a + bx}, \quad (4)$$

系数 a 与 b 可以把曲綫上已知点代入求得。1) 当 $x = \ln 1 = 0$, $y = \frac{K_m}{K_n} = 1$, 由此得出 $a = 1$; 2) 取一系列野外試驗得到的点，求出它們的平均值 b , $b = 10$ 。

把未知数和常數值代入，得方程式如下：

$$K_m = \frac{K_n}{1 + 2\ln \frac{H}{l}}. \quad (5)$$

上式是岩体的內聚力和岩块的內聚力及岩体内裂隙发育程度的关系式。

图 5 上的所有各点，除1和2外，都是在柯尔金諾、卡尔宾斯克、庫茲巴斯和爱基巴斯杜司等露天煤矿野外試驗所得出的結果。这些試驗是在剪断面和岩层面及裂隙成斜交条件下做的，也就是说和非均質面不重合。点1是根据1946年巴格司洛夫斯克露天矿东帮崩落落实測資料中求得。当整理崩落資料时，其所得岩体内聚力等于2.8吨/公尺²，而在50公尺深岩块平均內聚力等于25吨/公尺²（摘自全苏矿山